

А. Т. ГРИГОРЬЕВ, Т. А. СТРУНИНА и А. С. АДАМОВА

ИССЛЕДОВАНИЕ СПЛАВОВ ПАЛЛАДИЯ С КРЕМНИЕМ

В литературе имеется мало сведений о соединениях платиновых металлов с кремнием. В этом отношении можно указать на исследование сплава рутения с кремнием (82,4 вес. % кремния), проведенное Муассаном и Маншо [1] в 1903 г. Обработкой сплава едкой щелочью и смесью плавиковой и азотной кислот авторам удалось выделить из сплава химическое соединение RuSi. Лебо и Новицкий [2] в 1907 г. и одновременно с ними Вигуру [3] провели исследование некоторых сплавов платины с кремнием. Авторы установили наличие химического соединения PtSi. Более подробно и тщательно система платина — кремний была изучена в 1936 г. Н. М. Вороновым [4]. Методами термического анализа, микроструктуры и частично методами твердости, электросопротивления и термоэлектродвижущей силы автором была впервые установлена диаграмма плавкости системы.

По сплавам палладия с кремнием ориентировочное исследование было сделано Буссенго [5] в 1876 г., приготовившим сплав с 4 вес. % кремния. Более систематическое исследование сплавов палладия с кремнием было проведено Лебо и Жолибуа [6] в 1908 г. Авторы методами термического анализа и микроструктуры обнаружили в системе палладий — кремний наличие двух химических соединений: PdSi с температурой плавления, равной 1400°, и Pd₂Si, которое плавилось при 900°. Диаграмма плавкости в целом не исследована, микрофотографии в работе не представлены.

Так как более детальное изучение силицидов палладия представляет теоретический интерес, а исследование сплавов с небольшими добавками кремния может быть полезным и для практических целей, нами было предпринято новое исследование системы палладий — кремний.

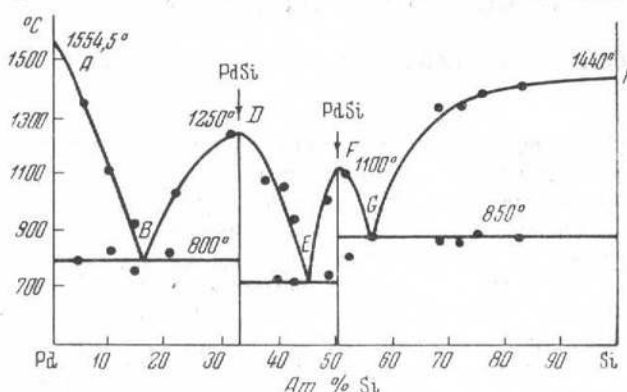
Методами термического анализа микроструктуры и частично твердости по Виккерсу были изучены сплавы палладия с кремнием с содержанием кремния от 7,2 до 82,01 ат. %. Для приготовления сплавов применялись палладий, осажденный муравьинокислым натрием из солянокислого раствора, и кремний с содержанием железа 0,95 вес. %. Сплавы весом 15 г готовились в корундизовых тиглях под слоем хлористого бария в криптолитной печи. Все они после записи кривых охлаждения подвергались химическому анализу, который проводился следующим образом. Навеска сплава, тщательно измельченная, растворялась при нагревании в царской водке. При этом палладий переходил в раствор, а кремний оставался в мелкодисперсном состоянии, частично окисляясь до SiO₂. Раствор дважды выпаривался почти досуха с соляной кислотой для удаления окислов азота. Остаток после выпаривания обрабатывался дестиллированной водой,

фильтровался и из раствора выделялся палладий восстановлением муравьинокислым натрием по реакции



Реакция велась в нейтральной среде в присутствии уксуснокислого натрия. Палладий отфильтровывался и высушивался при 118—120°. Кремний определялся по разности.

Термический анализ сплавов проводился при помощи пиromетра Курнакова и платино-платинородиевой термопары. Результаты термического анализа и состав сплавов даны в табл. 1. Как видно из диаграммы фиг. 1, построенной на основании данных термического анализа, добавление кремния к палладию резко снижает температуру плавления палладия (кривая AB): при добавке 4,25 вес. % кремния (14,4 ат. %) температура плавления снижается от 1554 до 908°. При 33,3 ат. % кремния кривая плавкости образует максимум (точка D) при 1250°, отвечающий температуре плавления химического соединения Pd_2Si . В области концентраций кремния от 0 до 33,3 ат. % образуется механическая смесь из палладия и химического соединения Pd_2Si . Температура эвтектической



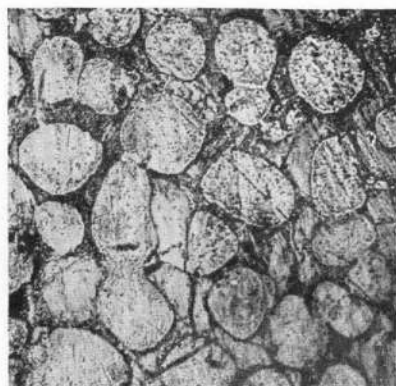
Фиг. 1. Диаграмма плавкости системы палладий — кремний

точки: при добавке 4,25 вес. % кремния (14,4 ат. %) температура плавления снижается от 1554 до 908°. При 33,3 ат. % кремния кривая плавкости образует максимум (точка D) при 1250°, отвечающий температуре плавления химического соединения Pd_2Si . В области концентраций кремния от 0 до 33,3 ат. % образуется механическая смесь из палладия и химического соединения Pd_2Si . Температура эвтектической

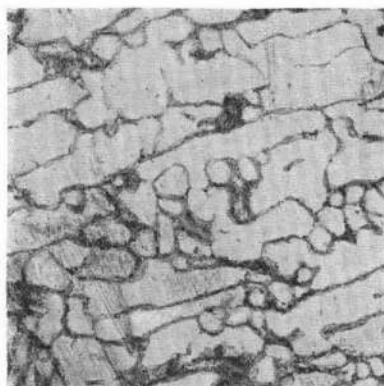
линии равна 800°, а эвтектическая точка B соответствует 16 ат. % кремния. При дальнейшем увеличении содержания кремния (свыше 33,3 ат. %) кривая плавкости постепенно снижается и достигает 720°, образуя при этой температуре эвтектическую смесь химических соединений Pd_2Si и PdSi ; последнее соединение плавится при 1100° (точка F). Эвтектическая точка E соответствует 45 ат. % кремния. На участке диаграммы от 50 ат. % кремния до чистого кремния образуется механическая смесь из химического соединения PdSi и кремния. Эвтектическая температура в этой области равна 850°, а эвтектическая точка G отвечает 58 ат. % кремния.

Таблица 1

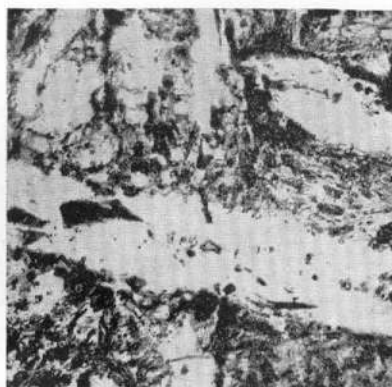
Si		Температура, °C		Si		Температура, °C	
вес. %	ат. %	1-я остановка	2-я остановка	вес. %	ат. %	1-я остановка	2-я остановка
2,00	7,20	1387	783	20,45	48,96	994	733
2,90	10,20	1109	831	22,21	52,05	1074	790
4,25	14,44	908	726	25,81	56,95	892	—
7,07	22,50	1019	810	38,43	68,20	1330	852
11,0	31,97	1240	—	40,00	71,72	1343	852
13,28	36,81	1051	—	43,96	74,88	1381	890
14,70	39,58	1048	724	54,52	82,01	1429	861
15,61	42,31	928	715				



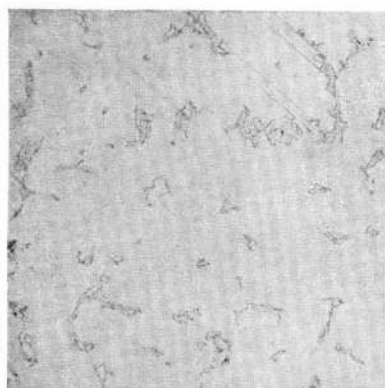
Фиг. 2. 7,2 ат.% Si, литой,
 $\times 200$



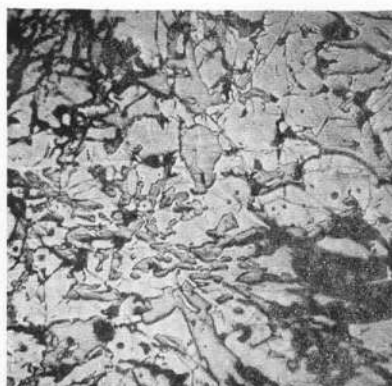
Фиг. 3. 10,2 ат.% Si, отожжен;
 $\times 100$



Фиг. 4. 14,44 ат.% Si, литой,
 $\times 50$



Фиг. 5. 32,00 ат.% Si, отожжен;
 $\times 100$



Фиг. 6. 39,58 ат.% Si, отожжен;
 $\times 50$



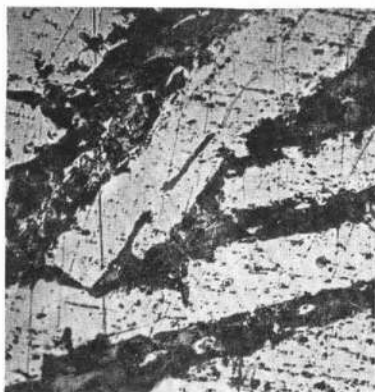
Фиг. 7. 42,31 ат.% Si, отожжен;
 $\times 50$



Фиг. 8. 48,96 ат. % Si, отожжен;
 $\times 50$



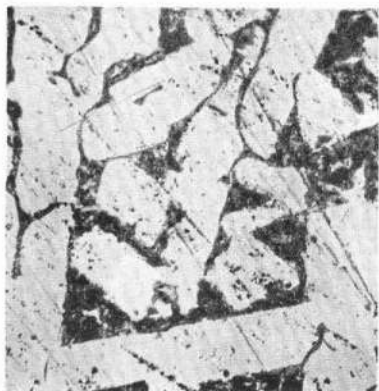
Фиг. 9. 56,96 ат. % Si, отожжен;
 $\times 100$



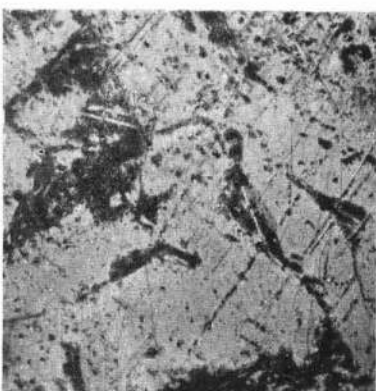
Фиг. 10. 68,20 ат. % Si, отожжен;
 $\times 50$



Фиг. 11. 71,72 ат. % Si, отожжен;
 $\times 50$



Фиг. 12. 74,88 ат. % Si, отожжен;
 $\times 50$



Фиг. 13. 82,01 ат. % Si, отожжен;
 $\times 50$

Полученные нами данные для температур плавления химических соединений Pd_2Si (1250°) и $PdSi$ (1100°), как видим, значительно отличаются от данных Лебо и Жолибуа [6], которые получили для этих соединений соответственно 1400 и 900° .

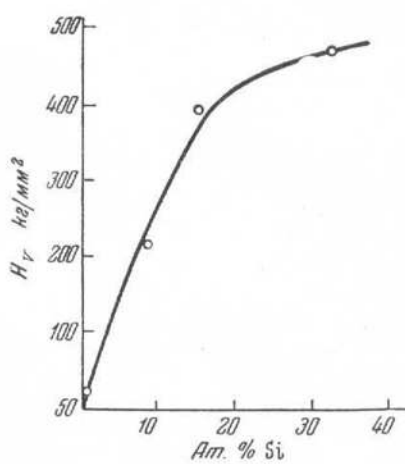
Микроструктура сплавов исследована в литом и отожженном состоянии. Отжиг сплавов проводился в трубчатой печи в вакууме, начиная с 600° в течение семи дней.

Через каждые 12 час. температура снижалась на 50° . Травление шлифов проводилось 20%-ным раствором царской водки при нагревании. Микроструктура сплавов приведена на фиг. 2—13.

На фиг. 2, изображающей структуру литого сплава с 7,2 ат. % Si (2 вес. %), мы видим, что уже при относительно малых добавках кремния появляется заметное количество эвтектики, состоящей из палладия и химического соединения Pd_2Si и залегающей между округлыми первичными выделениями палладия. С повышением содержания кремния количество эвтек-

Таблица 2

Палладий		Твердость по Виккерсу R_V
ат. %	вес. %	
0	0	50
7,20	2,00	234,5
14,40	4,25	394,5
32,00	11,00	465,0



Фиг. 14. Твердость по Виккерсу сплавов системы палладий — кремний

тики увеличивается, что можно видеть на фиг. 3 и 4. Черные пятна на фиг. 4 и на некоторых последующих фотографиях представляют собой пустоты. Отожженный сплав с 32 ат. % Si состоит почти целиком из химического соединения, лишь с небольшими включениями эвтектики из палладия и химического соединения Pd_2Si (фиг. 5).

На фиг. 6 и 7 изображена микроструктура сплавов с 39,58 и 42,31 ат. % Si. Здесь первично выделяется химическое соединение Pd_2Si , а эвтектика состоит из смеси соединений Pd_2Si и $PdSi$. Сплав с 48,96 ат. % кремния состоит почти целиком из соединения $PdSi$ и содержит лишь незначительные включения эвтектики (фиг. 8). На фиг. 9 представлена микроструктура отожженного сплава с 56,95 ат. % Si; по своему составу сплав лежит близко к эвтектике, но характер выделений кремния совсем не соответствует эвтектической структуре. В литературе имеются, однако, указания, что такие крупные выделения кремния встречаются и в других его сплавах. В качестве примера можно указать на книги Андерсона [7] и Фусса [8].

На фиг. 10 белые крупные кристаллы представляют первичные выделения кремния, а промежутки между ними заняты эвтектикой из химического соединения $PdSi$ и кремния. При шлифовании и полировании кристаллы эвтектической смеси часто выкрашивается, вследствие чего на фото появляются темные пятна пустот. С увеличением содержания кремния в сплавах количество эвтектики постепенно уменьшается, а количество выделений кремния возрастает (фиг. 11—13).

Попытка исследовать твердость сплавов по методу Бринелля не удалась вследствие большой хрупкости сплавов. По методу же Виккерса удалось провести ориентировочное определение твердости сплавов с содержанием палладия до 32 ат. % кремния. Твердость измерялась при нагрузке 10 кг. Результаты измерения твердости приведены в табл. 2 и изображены на фиг. 14. Как видно из кривой, наиболее резкое возрастание твердости сплавов наблюдается при первых добавках кремния; в дальнейшем скорость подъема этой кривой несколько замедляется. Некоторое несоответствие кривой твердости с диаграммой плавкости обусловлено недостатком точек и пористостью сплавов.

ВЫВОДЫ

1. Исследованы сплавы палладия с кремнием в пределах от 7,2 до 82,01 ат. % кремния методами термического анализа, микроструктуры и частично твердости.
2. На основании данных термического анализа, подтвержденных микроструктурой, построена диаграмма плавкости системы палладий — кремний. Подтверждено наличие химических соединений $PdSi$ с температурой плавления 1100° и Pd_2Si с температурой плавления 1250° .
3. Измерена по методу Виккерса твердость сплавов с содержанием кремния до 32 ат. %.

Поступило в редакцию
1 июля 1951 г.

Московский
Государственный Университет
им. М. В. Ломоносова

ЛИТЕРАТУРА

1. H. Moissan e. W. Manchot. C. r., 1903, **137**, 229.
2. P. Lebeau e. A. Novitzky. C. r., 1907, **145**, 241; Chem. Soc., 1907, **92**, 785.
3. E. Vigo и coих. C. r., 1896, **123**, 117.
4. H. M. Воронов. Изв. Сектора физ.-хим. анализа ИОНХ АН СССР, 1936, **13**, 145.
5. Boussingault. Ann. Chim. Phys., 1876, (5), VIII, 265.
6. P. Lebeau, P. Jolibois. C. r., 1908, **146**, 1028.
7. R. Anderson. The metallurgy of aluminium and aluminium alloys. N.-Y., 1925, 243.
8. Фусс. Металлография алюминия и его сплавов. М.—Л., ОНТИ, 1937, стр. 74, 81.